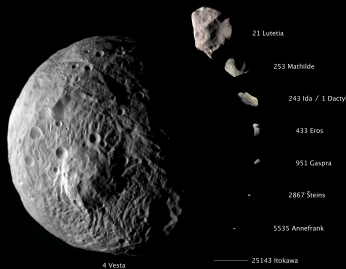


L'histoire du système solaire vue par les petits corps

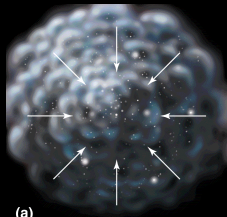


B. Carry^{1,2}

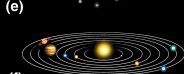
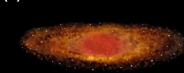
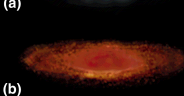
¹IMCCE, Observatoire de Paris

²Lagrange, Observatoire de la Côte d'Azur

Formation planétaire: Résumé



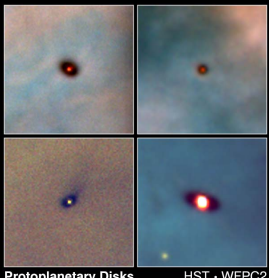
Un processus par étapes successives:



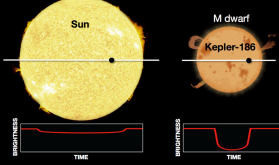
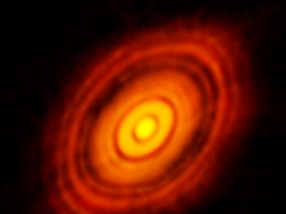
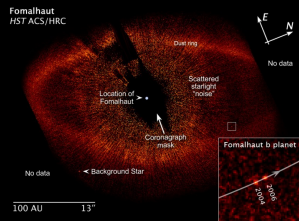
- a. Contraction du nuage de gaz & poussière
- b. Formation d'un disque
- c. Rotation, accumulation de matériaux
- d. Naissance de l'étoile
- e. Accrétion dans le disque et planétésimaux
- f. Système planétaire



Formation planétaire: Exemples



PRC95-45b - ST Scl OPO - November 20, 1995
M. J. McCaughran (MPIA), C. R. O'Dell (Rice University), NASA





Formation planétaire: Petits corps

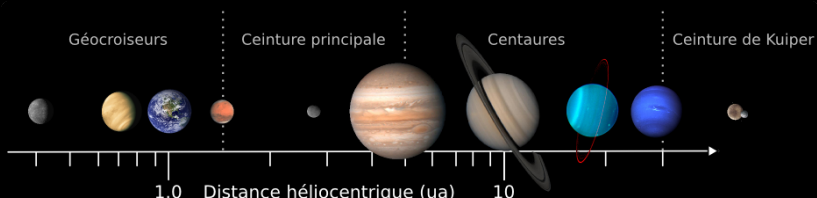
1. Population importante

- 700 000 objets (*plusieurs millions*)
- Large gamme de compositions [roches → glaces]
- Large gamme de distances héliocentriques [$1 \rightarrow 10^{2-5}$ ua]

2. Population primitive

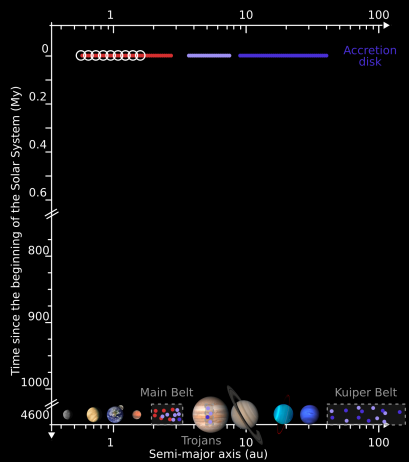
- Petits objets [m → 10^3 km]
- Énergie interne ≈ nulle
- Pas d'activité endogène

▷ Témoins *directs* du jeune Système Solaire





Histoire: Preuves



DeMeo & Carry 2014

A. Disque d'accrétion

- Gaz & Poussière
- Gradient de composition

B. Planètes

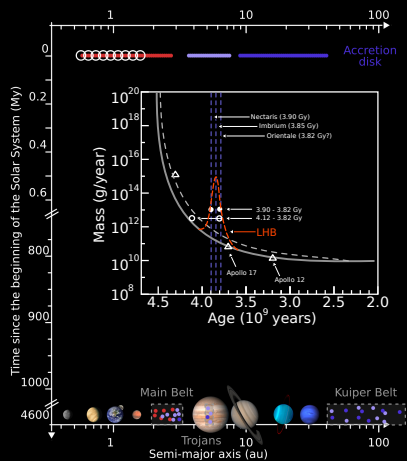
- Masses relatives
- Excentricités
- Compositions

C. Petits corps

- Masse des ceintures
- Mixité des astéroïdes
- Homogénéité des troyens
- Inclinaison des TNOs

D. Bombardement tardif

Histoire: Preuves



DeMeo & Carry 2014

A. Disque d'accrétion

- Gaz & Poussière
- Gradient de composition

B. Planètes

- Masses relatives
- Excentricités
- Compositions

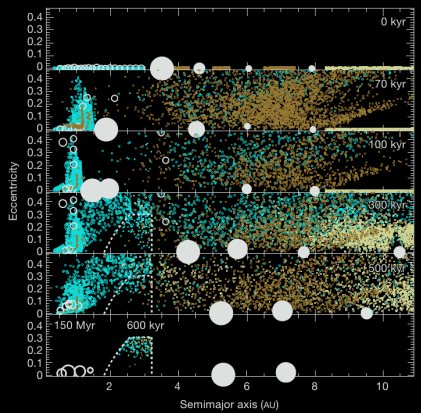
C. Petits corps

- Masse des ceintures
- Mixité des astéroïdes
- Homogénéité des troyens
- Inclinaison des TNOs

D. Bombardement tardif



— Histoire: le “Grand Tack” —



Walsh et al. 2011

A. Jupiter migre vers l'intérieur

- Explique la masse de Mars
- Diminue la ceinture principale

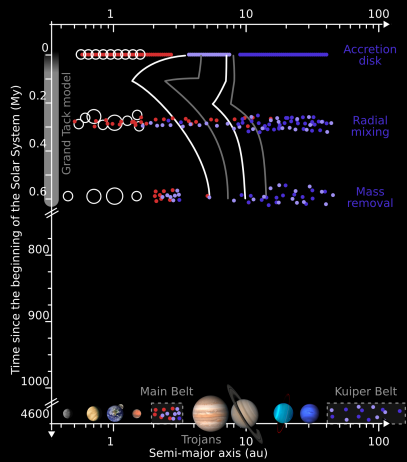
B. Jupiter migre vers l'extérieur

- Excite les orbites
- Mélange les parties internes

C. Bilan

- Mélange complet
- Perte de 99% de la masse

— Histoire: le “Grand Tack” —



DeMeo & Carry 2014

A. Jupiter migre vers l'intérieur

- Explique la masse de Mars
- Diminue la ceinture principale

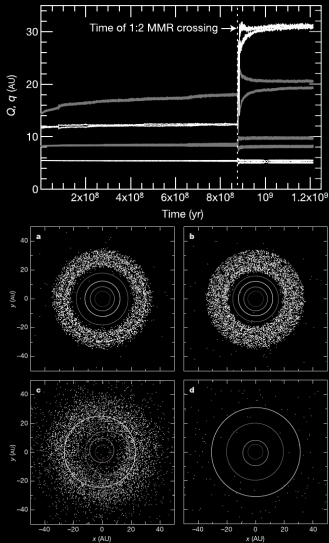
B. Jupiter migre vers l'extérieur

- Excite les orbites
- Mélange les parties internes

C. Bilan

- Mélange complet
- Perte de 99% de la masse

Histoire: Modèle de Nice



Gomes/Tsiganis/Morbidelli 2005

A. Idée originelle

- Migration douce
- Résonance Jupiter-Saturne

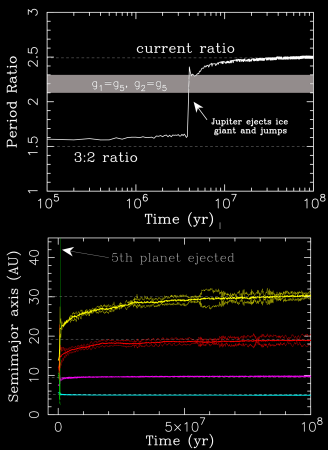
B. Nouveau paradigme

- Géante glacée
- **Jumping** Jupiter

C. Bilan

- Mélange complet
- Troyens remplacés
- Satellites capturés
- ▶ 5 ou 6 planètes géantes!

Histoire: Modèle de Nice



Morbidelli et al. 2007/2010+

Nesvorný/Batygin 2011/2012

A. Idée originelle

- Migration douce
- Résonance Jupiter-Saturne

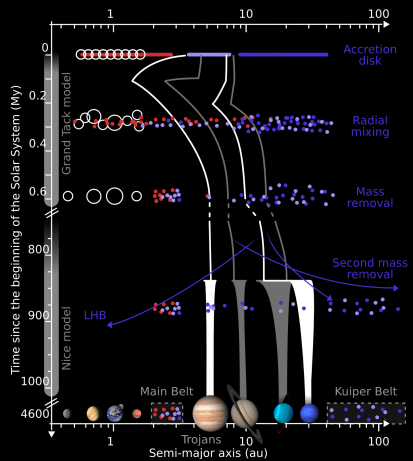
B. Nouveau paradigme

- Géante glacée
- **Jumping** Jupiter

C. Bilan

- Mélange complet
- Troyens remplacés
- Satellites capturés
- ▶ 5 ou 6 planètes géantes!

Histoire: Modèle de Nice



DeMeo & Carry 2014

A. Idée originelle

- Migration douce
- Résonance Jupiter-Saturne

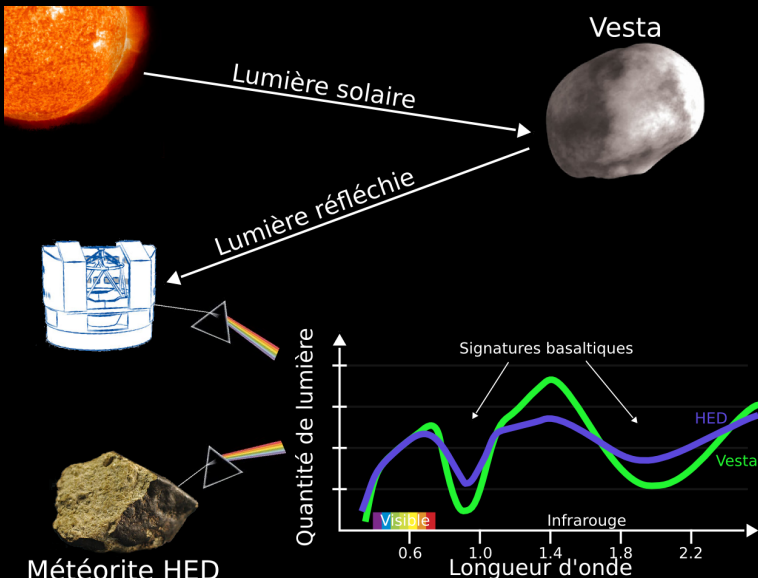
B. Nouveau paradigme

- Géante glacée
- **Jumping** Jupiter

C. Bilan

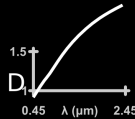
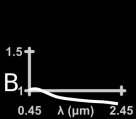
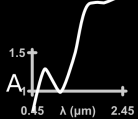
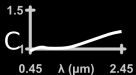
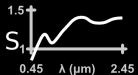
- Mélange complet
- Troyens remplacés
- Satellites capturés
- ▶ 5 ou 6 planètes géantes!

Composition: Spectroscopie



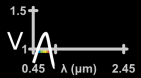
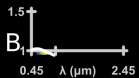
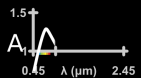
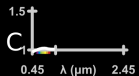
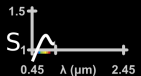


Composition dans le visible

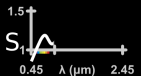




Composition dans le visible



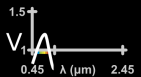
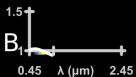
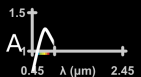
Composition dans le visible

Bande $1\mu\text{m}$ 

Plat

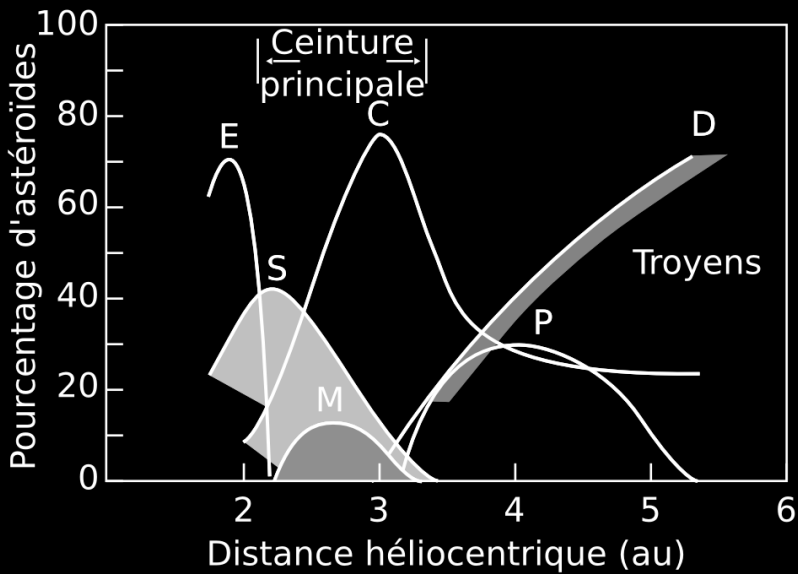


Très rouge





Composition dans le visible



Formation planétaire

Système Solaire

Composition

SDSS

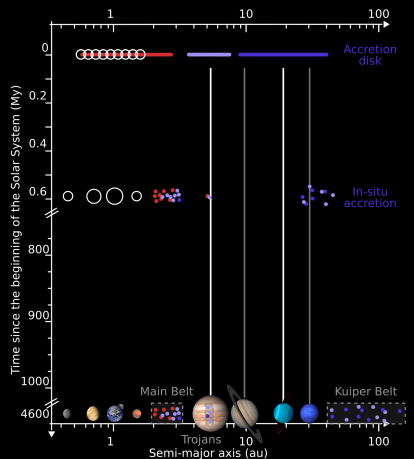
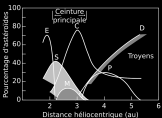
Structure de la ceinture

Modélisation 3-D

Futur

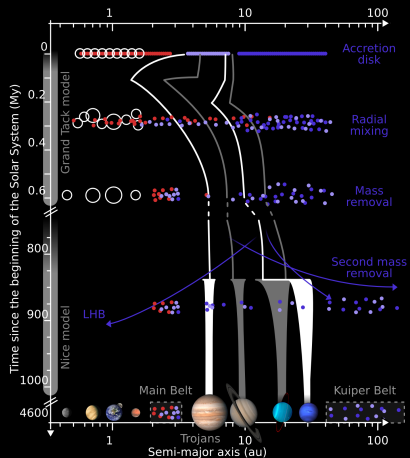
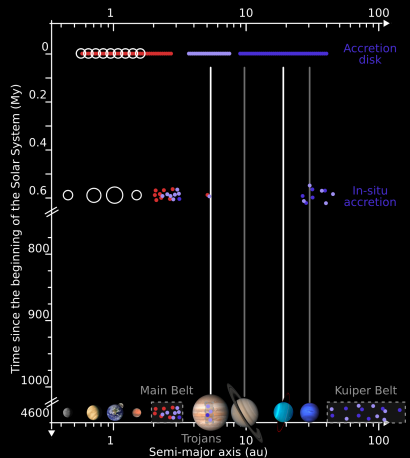
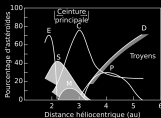


Structure de la ceinture principale





Structure de la ceinture principale

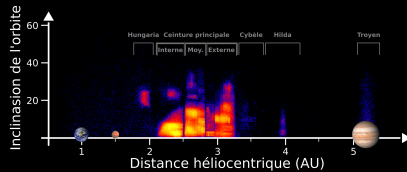
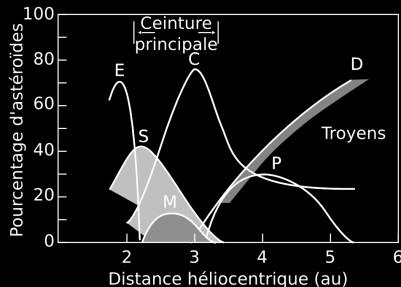




Structure de la ceinture principale

1. Attention aux fractions!

- ▶ Perd la structure
- ▶ *Rien* entre 3.3–5 AU
- ▶ Hungarias \neq Ceinture
- ▶ Troyens \neq Ceinture





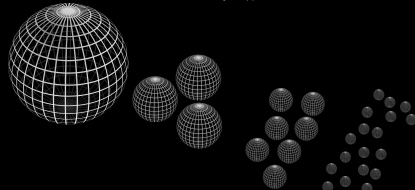
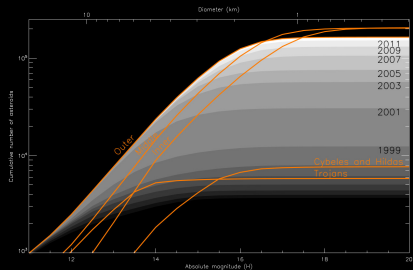
Structure de la ceinture principale

1. Attention aux **fractions!**

- ▶ Perd la structure
- ▶ *Rien* entre 3.3–5 AU
- ▶ Hungarias \neq Ceinture
- ▶ Troyens \neq Ceinture

2. Attention aux **nombres!**

- ▶ Perd les proportions
- ▶ Un Cérès @ 1000 km
- ▶ 10^6 astéroïdes @ 1 km
- ▶ **Mais** Cérès = 20% masse





Structure de la ceinture principale

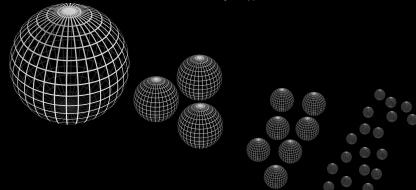
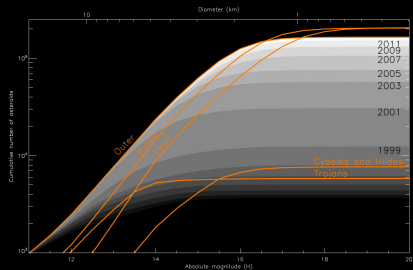
1. Attention aux **fractions!**

- ▶ Perd la structure
- ▶ *Rien* entre 3.3–5 AU
- ▶ Hungarias \neq Ceinture
- ▶ Troyens \neq Ceinture

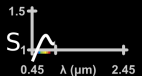
2. Attention aux **nombres!**

- ▶ Perd les proportions
- ▶ Un Cérès @ 1000 km
- ▶ 10^6 astéroïdes @ 1 km
- ▶ **Mais** Cérès = 20% masse

3. Seulement **600 objets!**



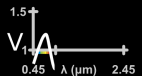
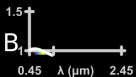
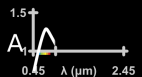
Composition: WETAL2011

Bande 1 μm 

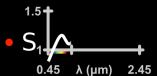
Plat



Très rouge



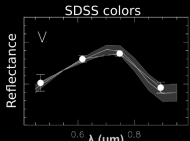
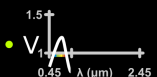
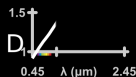
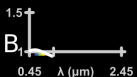
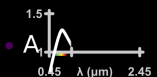
Composition: WETAL2011

Bande 1 μm 

Plat



Très rouge



— The Sloan Digital Sky Survey —



► Large-area sky survey: 1998-2009

- 12,000 degrés carrés
- Pixels de 0.4''
- 400 millions de sources

► Photométrie dans le visible

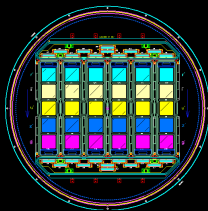
- 5 filtres: ugriz
- Magnitude limite: 22 – 20.5
- Précision @ 2–3%

► Moving Object Catalog

- 471,569 sources, dont 220,101 reconnues
- 104,449 uniques

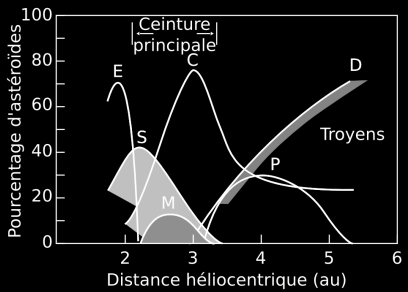
► Conjonction incroyable

- Couleurs par SDSS
- Diamètres par WISE
- Densité par Carry2012



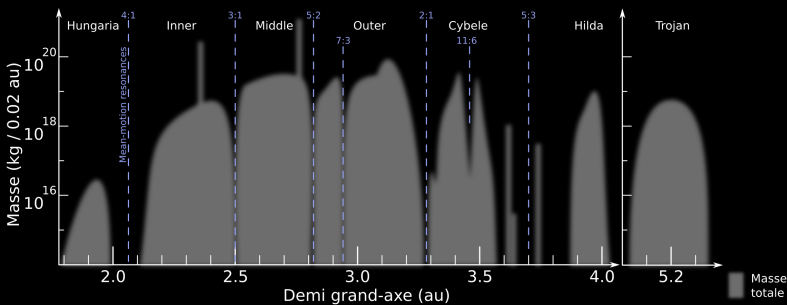
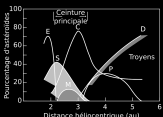


Structure de la ceinture



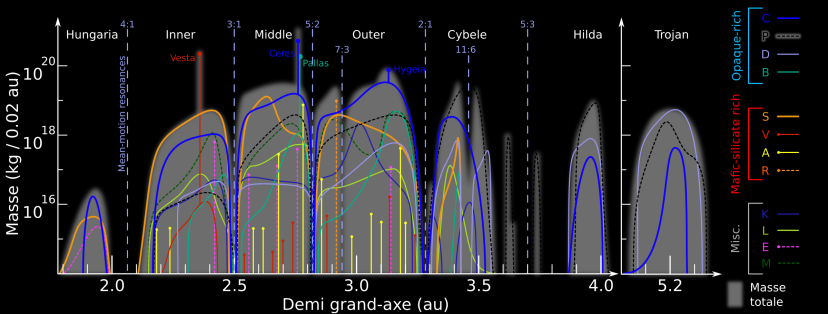
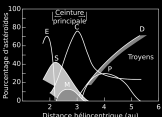


Structure de la ceinture



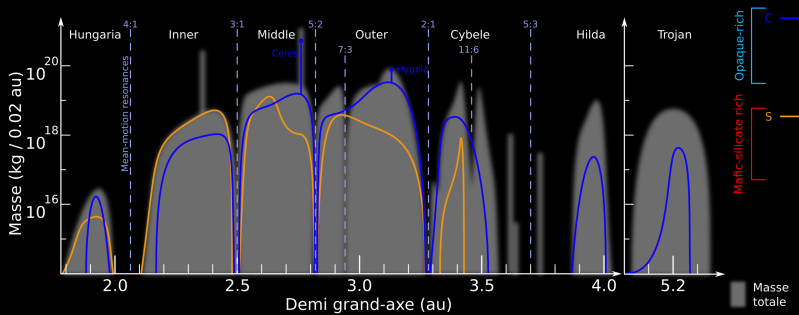
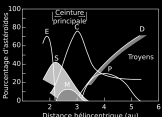


Structure de la ceinture



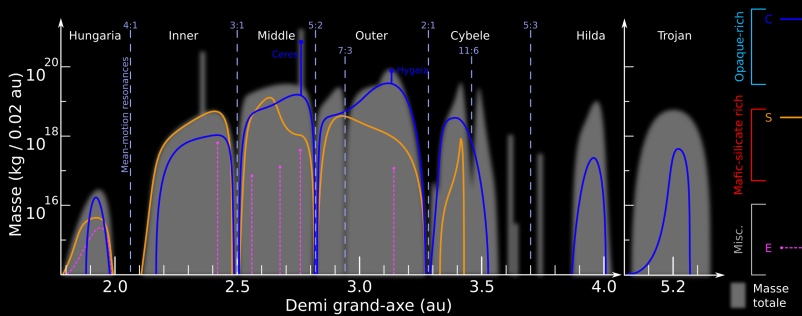
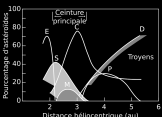


Structure de la ceinture



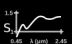
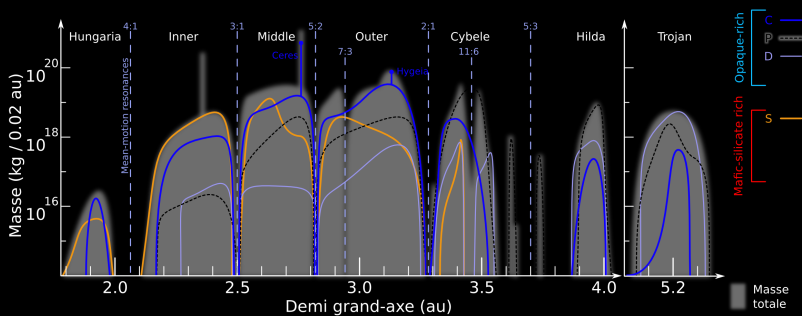
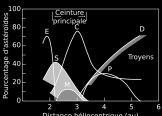


Structure de la ceinture



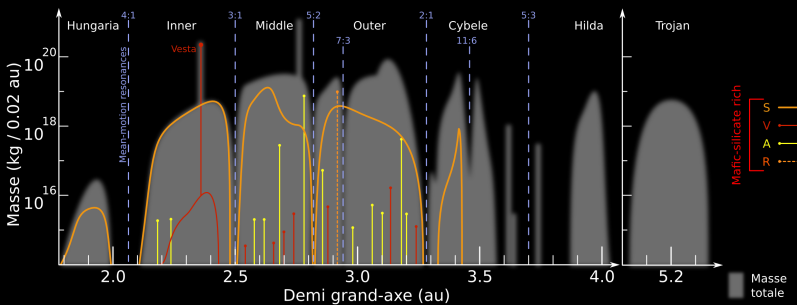
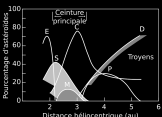


Structure de la ceinture





Structure de la ceinture



Structure de la ceinture

► Au boulot les théoriciens!

- Matériel primitif dans la ceinture interne
- Masse de manteau?
- Répartitions différentes suivant les diamètres

► Observateurs: mieux contraindre les densités

- Densité pour seulement ≈ 300 astéroïdes
- Critique pour convertir **nombre** \rightarrow **masse**
- Courbes de lumière + occultations \rightarrow modèles 3-D

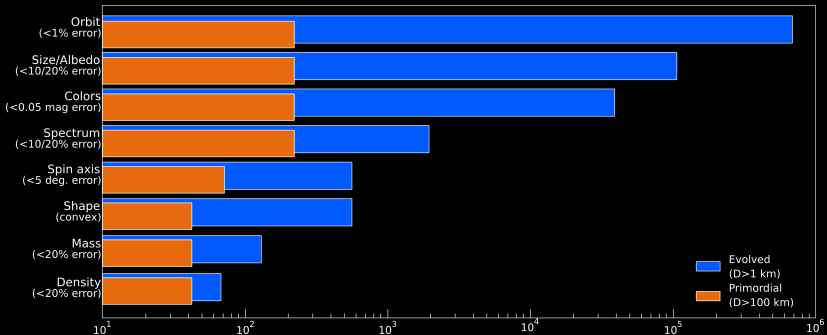
► Observateurs: Explorer les propriétés physiques

- Reste *terra incognita*
- Distribution des spins?
- Formes vs composition? vs populations?



Situation actuelle

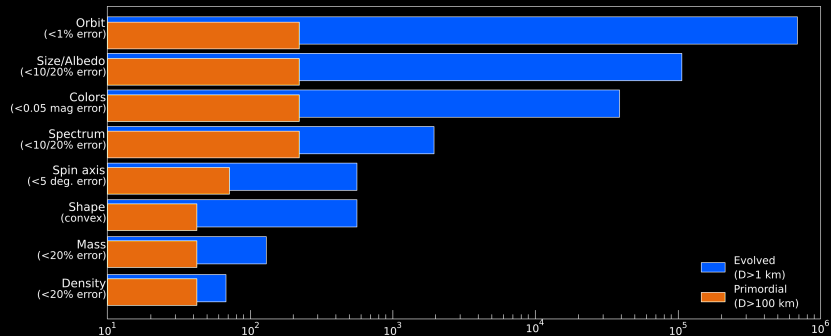
Astéroïdes





Situation actuelle

- Astéroïdes



- TNOs & Comètes

2000 objets → À peine une poignée étudiée

Quelques questions ouvertes

- A. Quelle est la distribution des axes de rotation?
- B. Quelle est la forme des petits corps?
 - Quelle est la distribution des cratères?
 - Pour les comètes, l'activité est-elle liée à la topographie?
- C. Quelle est la structure interne des petits corps?
 - Relation entre densité et composition de surface?
 - Relation entre structure et population?
- D. Quelle est la multiplicité suivant les populations?
 - Est-ce relié à leur formation?
 - Est-ce relié à leur composition?



Quelques questions ouvertes

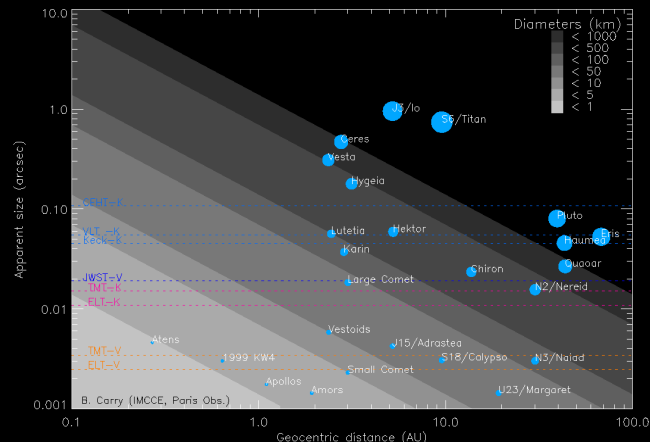
A. Quelle est la distribution des axes de rotation?

B. Quelle est la forme des petits corps?

- Quelle est la distribution des cratères?

C. Quelle

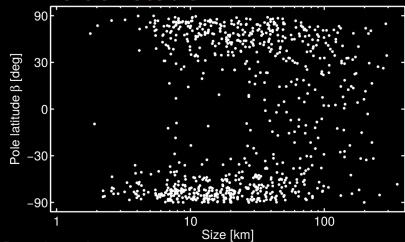
D. Quelle





Jetons un oeil...

- Axe de rotation

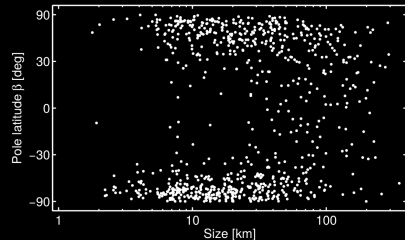


Durech et al. 2015



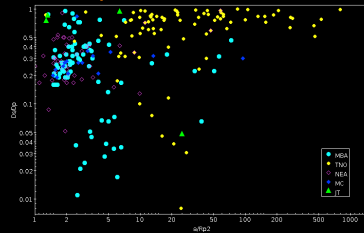
Jetons un oeil...

- Axe de rotation



Durech et al. 2015

- Multiplicité

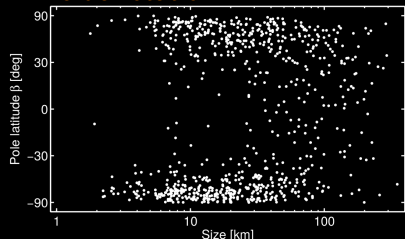


Adapté de Johnston 2015



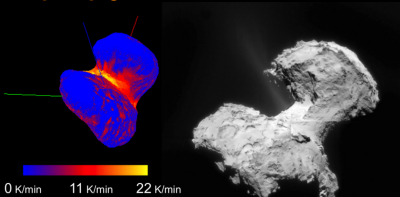
Jetons un oeil...

- Axe de rotation



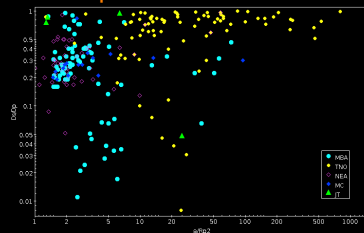
Durech et al. 2015

- Forme 3-D



Ali-Lagoa et al. 2015

- Multiplicité

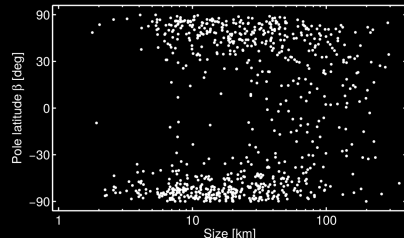


Adapté de Johnston 2015



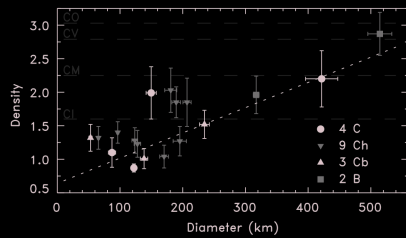
Jetons un oeil...

- Axe de rotation



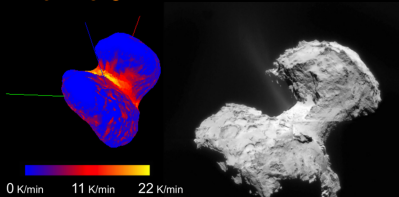
Durech et al. 2015

- Structure interne



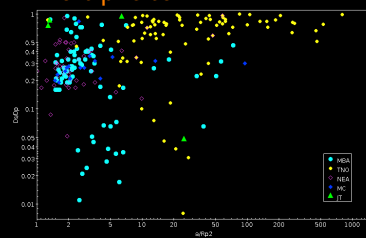
Carry 2012

- Forme 3-D



Ali-Lagoa et al. 2015

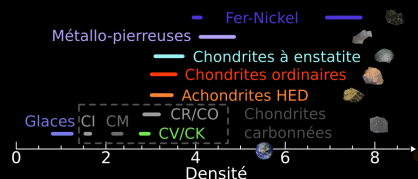
- Multiplicité



Adapté de Johnston 2015



Densité des petits corps



- Densité \Leftrightarrow composition

- Glace: $\rho \approx 1 \text{ g.cm}^{-3}$
- Roche: $\rho \approx 2\text{--}3 \text{ g.cm}^{-3}$
- Métal: $\rho \approx 7 \text{ g.cm}^{-3}$
- Terre: $\rho = 5.5 \text{ g.cm}^{-3}$

- Densité = Masse / Volume

- Satellite \rightarrow masse
- Forme 3-D \rightarrow volume

- Imagerie de binaires

1990s: Pas d'AO \rightarrow Pas de satellite

2000s: AO \rightarrow Un satellite

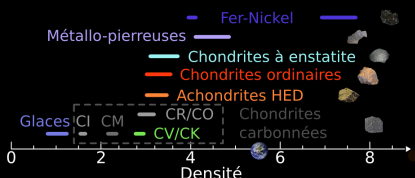
2010s: XAO \rightarrow Deux satellites

- Forte attente pour E-ELT

- Gaia et occultations stellaires!

Densité des petits corps

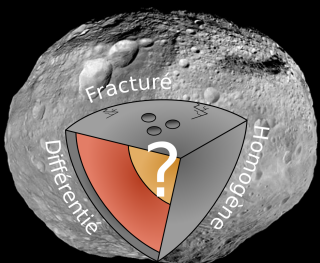
- Densité \Leftrightarrow composition



- Glace: $\rho \approx 1 \text{ g.cm}^{-3}$
- Roche: $\rho \approx 2\text{--}3 \text{ g.cm}^{-3}$
- Métal: $\rho \approx 7 \text{ g.cm}^{-3}$
- Terre: $\rho = 5.5 \text{ g.cm}^{-3}$

• Densité = Masse / Volume

- Satellite \rightarrow masse
- Forme 3-D \rightarrow volume



- Imagerie de binaires

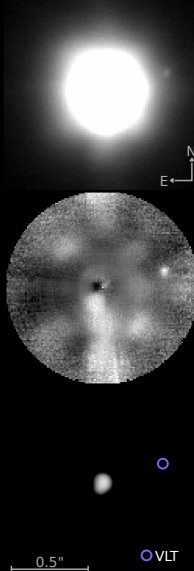
1990s: Pas d'AO \rightarrow Pas de satellite

2000s: AO \rightarrow Un satellite

2010s: XAO \rightarrow Deux satellites

- ▶ Forte attente pour E-ELT
- ▶ Gaia et occultations stellaires!

— Densité des petits corps —



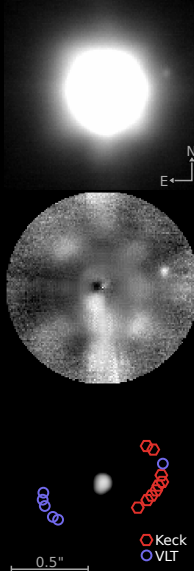
- Densité \Leftrightarrow composition
 - Glace: $\rho \approx 1 \text{ g.cm}^{-3}$
 - Roche: $\rho \approx 2\text{--}3 \text{ g.cm}^{-3}$
 - Métal: $\rho \approx 7 \text{ g.cm}^{-3}$
 - Terre: $\rho = 5.5 \text{ g.cm}^{-3}$

- Densité = Masse / Volume
 - Satellite \rightarrow masse
 - Forme 3-D \rightarrow volume
 - $1'' = 1 \text{ Euro} @ 2 \text{ km}$

- Imagerie de binaires
 - 1990s: Pas d'AO \rightarrow Pas de satellite
 - 2000s: AO \rightarrow Un satellite
 - 2010s: XAO \rightarrow Deux satellites

- Forte attente pour E-ELT
- Gaia et occultations stellaires!

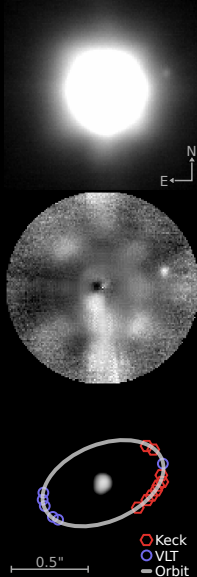
— Densité des petits corps —



- Densité \Leftrightarrow composition
 - Glace: $\rho \approx 1 \text{ g.cm}^{-3}$
 - Roche: $\rho \approx 2\text{--}3 \text{ g.cm}^{-3}$
 - Métal: $\rho \approx 7 \text{ g.cm}^{-3}$
 - Terre: $\rho = 5.5 \text{ g.cm}^{-3}$
- Densité = Masse / Volume
 - Satellite \rightarrow masse
 - Forme 3-D \rightarrow volume
 - $1'' = 1 \text{ Euro} @ 2 \text{ km}$
- Imagerie de binaires
 - 1990s: Pas d'AO \rightarrow Pas de satellite
 - 2000s: AO \rightarrow Un satellite
 - 2010s: XAO \rightarrow **Deux** satellites
- Forte attente pour E-ELT
- Gaia et occultations stellaires!

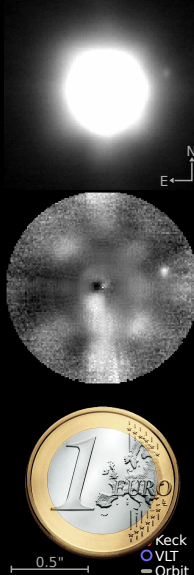


— Densité des petits corps —



- Densité \Leftrightarrow composition
 - Glace: $\rho \approx 1 \text{ g.cm}^{-3}$
 - Roche: $\rho \approx 2\text{--}3 \text{ g.cm}^{-3}$
 - Métal: $\rho \approx 7 \text{ g.cm}^{-3}$
 - Terre: $\rho = 5.5 \text{ g.cm}^{-3}$
- Densité = Masse / Volume
 - Satellite \rightarrow masse
 - Forme 3-D \rightarrow volume
 - $1'' = 1 \text{ Euro} @ 2 \text{ km}$
- Imagerie de binaires
 - 1990s: Pas d'AO \rightarrow Pas de satellite
 - 2000s: AO \rightarrow Un satellite
 - 2010s: XAO \rightarrow Deux satellites
- Forte attente pour E-ELT
- Gaia et occultations stellaires!

— Densité des petits corps —



- Densité \Leftrightarrow composition
 - Glace: $\rho \approx 1 \text{ g.cm}^{-3}$
 - Roche: $\rho \approx 2\text{--}3 \text{ g.cm}^{-3}$
 - Métal: $\rho \approx 7 \text{ g.cm}^{-3}$
 - Terre: $\rho = 5.5 \text{ g.cm}^{-3}$
- Densité = Masse / Volume
 - Satellite \rightarrow masse
 - Forme 3-D \rightarrow volume
 - $1'' = 1 \text{ Euro } @ 2 \text{ km}$
- Imagerie de binaires
 - 1990s: Pas d'AO \rightarrow Pas de satellite
 - 2000s: AO \rightarrow Un satellite
 - 2010s: XAO \rightarrow Deux satellites
- Forte attente pour E-ELT
- Gaia et occultations stellaires!

— Densité des petits corps —

- Densité \Leftrightarrow composition

- Glace: $\rho \approx 1 \text{ g.cm}^{-3}$
- Roche: $\rho \approx 2\text{--}3 \text{ g.cm}^{-3}$
- Métal: $\rho \approx 7 \text{ g.cm}^{-3}$
- Terre: $\rho = 5.5 \text{ g.cm}^{-3}$

- Densité = Masse / Volume

- Satellite \rightarrow masse
- Forme 3-D \rightarrow volume
- $1'' = 1 \text{ Euro} @ 2 \text{ km}$

- Imagerie de binaires

1990s: Pas d'AO \rightarrow Pas de satellite

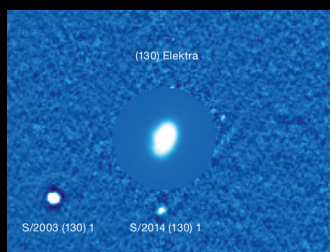
2000s: AO \rightarrow Un satellite

2010s: XAO \rightarrow **Deux** satellites

- ▶ Forte attente pour E-ELT
- ▶ Gaia et occultations stellaires!



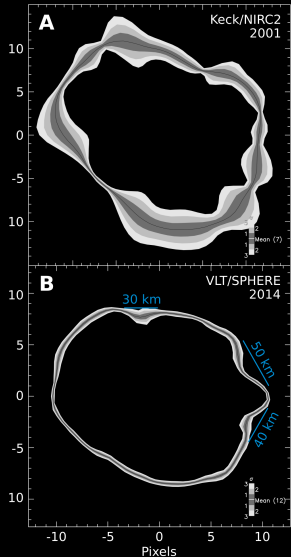
Marchis et al. 2008



Yang et al. 2014



Densité des petits corps



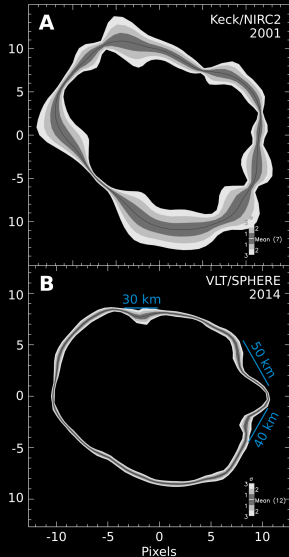
- Densité \Leftrightarrow composition
 - Glace: $\rho \approx 1 \text{ g.cm}^{-3}$
 - Roche: $\rho \approx 2\text{--}3 \text{ g.cm}^{-3}$
 - Métal: $\rho \approx 7 \text{ g.cm}^{-3}$
 - Terre: $\rho = 5.5 \text{ g.cm}^{-3}$
- Densité = Masse / Volume
 - Satellite \rightarrow masse
 - Forme 3-D \rightarrow volume
 - $1'' = 1 \text{ Euro} @ 2 \text{ km}$

- Imagerie de binaires
 - 1990s: Pas d'AO \rightarrow Pas de satellite
 - 2000s: AO \rightarrow Un satellite
 - 2010s: XAO \rightarrow **Deux** satellites

- Forte attente pour E-ELT
- Gaia et occultations stellaires!

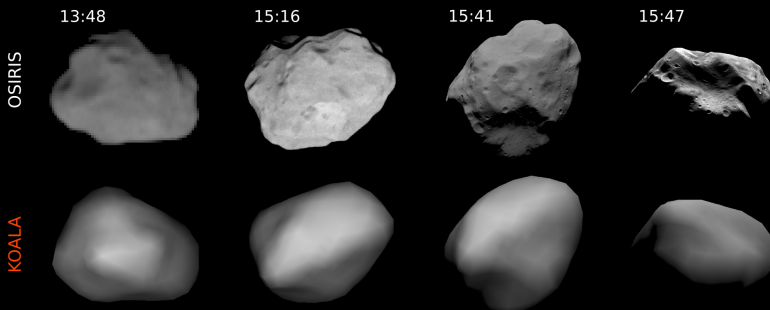


Densité des petits corps



- Densité \Leftrightarrow composition
 - Glace: $\rho \approx 1 \text{ g.cm}^{-3}$
 - Roche: $\rho \approx 2\text{--}3 \text{ g.cm}^{-3}$
 - Métal: $\rho \approx 7 \text{ g.cm}^{-3}$
 - Terre: $\rho = 5.5 \text{ g.cm}^{-3}$
- Densité = Masse / Volume
 - Satellite \rightarrow masse
 - Forme 3-D \rightarrow volume
 - $1'' = 1 \text{ Euro} @ 2 \text{ km}$
- Imagerie de binaires
 - 1990s: Pas d'AO \rightarrow Pas de satellite
 - 2000s: AO \rightarrow Un satellite
 - 2010s: XAO \rightarrow **Deux** satellites
- Forte attente pour E-ELT
- Gaia et occultations stellaires!

— CdR et forme 3-D —



Modèle pre-Flyby
KOALA

Carry et al. 2010

vs. Rosetta
Forme: 2 km

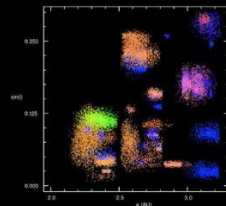
Carry et al. 2012

Précision
Volume: 15%

Et maintenant?

1. Composition de surface

- Spectroscopie proche IR
- Couleurs SDSS sur certaines niches



Parker et al. 2008

2. Propriétés physiques

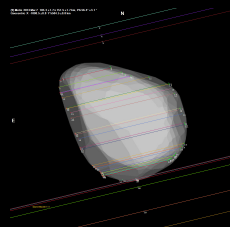
- Courbes de lumières
- Occultations stellaires

3. Multiplicité

- Courbes de lumières
- Occultations stellaires

► Cibles pour densité

- MPBu 42-3: Hanus



Euraster.net